

UDK: 629.366.017.2

ISTRAŽIVANJE OCENSKIH POKAZATELJA KOMFORNOSTI UPRAVLJANJA TRANSPORTNIH VOZILA

RESEARCHES JUDGMENTS INDICATORS COMFORT MANAGEMENT INDICATORS OF TRANSPORTATION VEHICLES

Zoran MAJKIĆ¹

Rezime: Pri projektovanju vozila teško je precizirati koji je sistem naj složeniji ali jedno je sigurno sistem za upravljanje zajedno sa sistemom za kočenje nosi u sebi poseban stepen odgovornosti sa aspekta bezbednosti. Iz toga bi trebalo da proističe odgovarajući stepen važnosti pri projektovanju. Ovde se analiziraju otpori zakretanju upravljačkih točkova, prenosni odnosi, sila na volanu u zavisnosti od ugla obrtanja točka upravljača kao osnovni element komfornosti upravljanja motornim vozilom. Prikazana analiza sa prikazom odgovarajućih rezultata ispitivanja i matematičkog modela izrađenog u modulu Simulink programskog paketa Matlab uz primenu odgovarajuće zakonske regulative dovodi do zaključka o izboru odgovarajućeg servomehanizma transportnog automobila formule pogona 6x6.

Ključне ријечи: put, ugao, volan, servoupravljač, upravljanje.

Abstract: When designing the vehicles it is difficult to specify which system is the most complex but one thing is certain management system along with the braking system carries a special degree of responsibility in terms of security. It should be an appropriate level of importance arises in the design. Here are analyzed resistances apparent rotation of steering wheels, gear ratios, the steering effort depending on the angle of rotation of the steering wheel as the basic element of comfort driving a motor vehicle. The presented analysis showing the results of appropriate tests and mathematical model developed in Simulink module of Matlab with the application of appropriate legislation leads to the conclusion on the selection of appropriate powered mechanism in truck configuration axle 6x6.

Keywords: force, angle, steering wheel, power steering, steering.

1. UVOD

Upravljački sistem služi za promenu ili održavanje izabranog pravca kretanja vozila i ostvarenja manevriranja njime. U opštem slučaju upravljački sistem se sastoji iz tri dela: upravljačkog mehanizma, upravljačkog prenos i pojačivača. Servoupravljači se projektuju tako da omoguće lako zakretanje u mestu, ne dovodeći veliku силу upravljačkom točku. Do potrebnih dimenzija sistema za upravljanje, u početnoj fazi izrade projekta, obično se dolazi izvođenjem proračuna njihovog opterećenja pri zakretanju točkova u mestu, pri čemu se moment izračunava empirijski. Dakle, polazna osnova pri projektovanju hidrauličkog servoupravljača jeste određivanje momenta otpora zakretanju upravljačkih točkova, a na osnovu čega se određuje maksimalna vrednost sile, odnosno momenta na volanu.

2. MOMENT OTPORA OKRETANJU TOČKOVA U MESTU

Na veličinu momenta, potrebnog za zaokretanje upravljačkih točkova u mestu utiču: opterećenje na točkovima; 2) koeficijent trenja pneumatika o podlogu; 3) dimenzija i oblik otiska pneumatika o podlogu, koji su odredjeni pritiskom u pneumatiku i njegovom konstrukcijom; 4) bočna krutost pneumatika; 5) radijus zaokretanja upravljačkih točkova; 6) uglovi nagiba osovinice rukavca i nagiba točka; 7) moment trenja u osovinicama rukavca i prenosnom mehanizmu (Gincburg, 1972). Da bi se ostvarile odgovarajuće vrednosti momenata otpora zakretanju upravljačkih točkova potrebno je voditi računa o svim navedenim relevantnim faktorima, jer time se obezbeđuje manje opterećenje elemenata u sistemu upravljanja, sa jedne strane, a sa druge strane omogućeno je olakšano upravljanje smanjenjem sile, odnosno sile na volanu. Postoji više različitih autora po čijim izrazima je moguće odrediti moment otpora zakretanja, a ovom prilikom biće izdvojeni neki od njih (Janković, 2005).

2.1. Moment otpora zakretanja upravljačkih točkova u mestu prema Mintu

Ukupni moment otpora zakretanja u mestu na obrtnom rukavcu je:

¹ Zoran Majkić, Tehnički ispitni centar, Bograd, majkiccoran@gmail.com

$$M_t = \frac{2}{3} G_t \cdot \mu \cdot q \cdot k_F \quad (1)$$

gde su: G_t - vertikalno opterećenje točka;

μ - koeficijent trenja okretanja pneumatika po podlozi;

$q = \sqrt{a \cdot b}$, a, b- ose elipse otiska pneumatika;

k_F - koeficijent, koji uzima u obzir uticaj oblika otiska, a određuje se pomoću specijalnog grafika.

Koeficijent Mint je dobio samo za jedan pneumatik, pa je korišćenje ove formule praktično nemoguće.

2.2. Moment otpora zakretanju upravljačkih točkova prema Taboreku

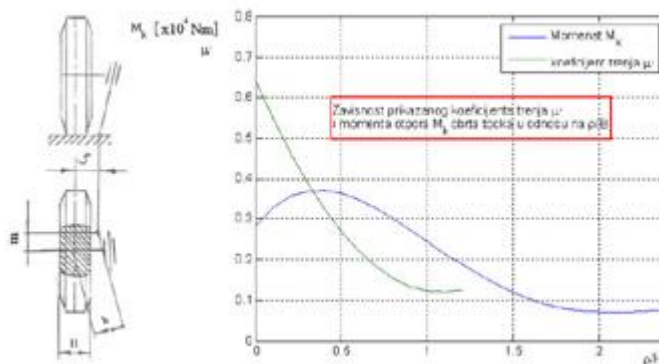
$$M_t = \mu \cdot G_t \cdot h_r \quad (2)$$

gde je μ' - redukovani koeficijent trenja, koji se određuje u zavisnosti od odnosa radijusa zaokretanja točka (e) i širine pneumatika (H) (slika 1)

$$h = \sqrt{\frac{I_0}{A_0} + \rho^2} \quad (3)$$

gde su: I_0 - polarni moment inercije površine otiska pneumatika na podlozi;

A_0 - površina otiska pneumatika.



Slika br. 1. Zavisnost prikazanog koeficijenta trenja i momenta otpora obrta točka u odnosu na (Gincburg, 1972)

Obično se I_0 i A_0 teško određuju pa i ovaj izraz nema nekog praktičnog značaja. U slučaju da je $e^2 \gg I_0 / A_0$, što biva kada se projekcija ose osovine rukavca A_0 na podlogu nalazi van granica otiska, radijusa inercije I_0 / A_0 otiska može se zanemariti, pa proizilazi $h = \rho$. Podatci proračuna po ovoj formuli $e^2 \gg I_0 / A_0$ potpuno se podudaraju sa eksperimentalnim podatcima.

2.3. Moment otpora zakretanju upravljačkih točkova u mestu prema Lisovu

$$M_t = G_t (0,132 \cdot \mu \cdot R_t + f \cdot \rho) \quad (4)$$

gde su: f - koeficijent otpora kotrljanja točkova;

R_t - spoljašnji radijus točka;

ρ - krak zaokretanja centra otiska pneumatika, tj. radijus zaokretanja točka.

Ova formula uzima u obzir radijus pneumatika, ali ne uzima u obzir pritisak i elastične karakteristike pneumatika.

2.4. Moment otpora zakretanju upravljačkih točkova u mestu prema Litvinovu

$$M_t = (0,7 \div 0,75) G_t \cdot \mu \cdot \frac{\sqrt{A_0}}{2} \quad (5)$$

gde je: $0,7 \div 0,75$ empirijski koeficijent.

Za proračun po ovoj formuli neophodno je znati zavisnost površine otiska pneumatika od opterećenja na njemu.

Moment otpora zakretanju upravljačkih točkova u mestu prema Goughu

$$M_t = \frac{G_t^{3/2}}{k \cdot p^{1/2}} \quad (6)$$

gde su: k - empirijski koeficijent (za obične pneumatike $k=2,1$);

p - pritisak u pneumaticima.

Eksperimentalna istraživanja su pokazala da je ovaj izraz veoma prihvativ. Pokušaćemo objasniti koju od prikazanih formula treba koristiti u prvom redu, neophodno je objasniti koji od sedam nabrojanih faktora, koji utiču na veličine momenta, mogu biti poznati pri proračunu. Na točkovima koji se zaokreću obično se unapred zadaju opterećenja i poznata su sa tačnošću $\pm (5-10\%)$. Koeficijent trenja pneumatika o podlogu (prijanjanje) je poznat i kreće se od 0,7-0,9 za suvu asfaltnu ili betonsku oblogu. Veličina otiska pneumatika zavisi od konstrukcije pneumatika i pritiska u njemu. Prema podatcima (Gincburg, 1972), pri proračunskom opterećenju pneumatika putničkih automobila pritisak na oslonu površinu blizak je pritisku u pneumatiku. Kod pneumatika teretnih automobila površina otiska je veća a pritisak na oslonu površinu je manji, nego što je pritisak u pneumatiku. Pri smanjenju pritiska u pneumaticima ta razlika se smanjuje, a pri povećanju – raste. Pri nominalnom opterećenju krutost pneumatika se malo odražava na njihov pritisak na oslonu površinu. U nedostatku podataka o veličini otiska pneumatika površina otiska se može približno odrediti kao odnos opterećenja i pritiska u pneumatiku. Oblik otiska pneumatika, koji utiče na veličinu polarnog momenta inercije, može se odrediti eksperimentalno. Bočna krutost pneumatika i radijus zaokretanja točka (ρ) pokazuju u određenim granicama mali uticaj na moment otpora zaokretanju. Pri poklapanju centra otiska pneumatika sa centrom zaokretanja točka, moment otpora zaokretanju određuje se izrazom (7):

$$M_t = \mu \cdot \frac{G_t}{r_m} \cdot \frac{I_0}{A_0} \quad (7)$$

gde je: r_m - maksimalno rastojanje od centra do granice otiska.

Pri pomerenom centru zaokretanja u odnosu na centar kontakta (slika 1.) proizilazi ne samo okretanje pneumatika, nego i valjanje točka i pomeranje njegove ravni simetrije prema osnoj liniji otiska. Moment otpora zaokretanju točka u tom slučaju određuje se po formuli:

$$M_t = \mu \frac{G_t}{r_m} \cdot \frac{I_0'}{A_0} + G_t \cdot f \cdot \rho + \frac{c \cdot (1 - \cos \theta_p) \cdot (l_0 - \rho \theta_p) \cdot \rho \cdot m}{l_0} \quad (8)$$

gde su: I_0' - polarni moment inercije površine otiska sa uzimanjem u obzir njegovog smanjenja pri zaokretanju točka za ugao θ_p , pri kome nastaje proklizavanje;

A_0' - površina otiska sa uzimanjem u obzir njenog smanjenja pri zaokretanju točka za

ugao ;

c - bočna krutost pneumatika, koja dolazi na jedinicu dužine otiska;

l_0 - dužina osne linije otiska;

m - krak (slika 1.).

Ako se uzme da je oblik otiska pravougaonik, onda pri poznatim karakteristikama pneumatika i parametrima ugrdnje točka nije teško izračunati zavisnost $M = f(\rho/H)$. Za realne vrednosti parametara ova zavisnost ima oblik kao na slici 1. Pri $(\rho/H) > 1,4 - 1,6$ momenat se smanjuje skoro proporcionalno ρ . Pri promeni odnosa

ρ/H od 0 do 0,5–0,7 moment нешто се повећава (10–14%). Ток криве на делу од $(\rho/H)=0$ до $(\rho/H)=0,5$ зависи од величине крака (m) и бочне крутости пневматика (c). Што су величине (m) и (c) веће то више расте вредност момента.

3. REAKTIVNI I CENTRIRAJUĆI ELEMENTI SERVOUREĐAJA

Управљачки систем без servoуређаја мора да поседује једну врло важну особину а то је да развије способност осећаја код возача да осети праћење конфигурације пута, нарочито при кретању у кривинама (Мајкић, 2013). Овај осећај јавља се у томе што се при повећању отпора закретању управљачких тоčкова појављује и потреба повећања сile на управљачком тоčку tj.volану. Ову особину – осећај пута, мора да поседује и управљачки систем са servoуређајем. Да би се ово остварило у servoуређају се уградије reaktivni element, чији је задатак да врло брзо прiguše oscilovanje управљачких тоčкова при повратном укључењу servoуређаја (од управљачких тоčкова ка управљачком тоčku – volanu). Вредност reakcije одређује се на бази повећања сile коју треба остварити на управљачком тоčku – volanu при повећаном отпору закретања тоčkova. Као показателј reaktivnog dejstva користи се однос прirasta sile F na volanu sa silama dejstva za svaki prirast sile F na volanu bez servo dejstva, tj.

$$\rho = \frac{\Delta F}{\Delta F'} \quad (9)$$

Danas su uglavnom poznata tri načina ostvarenja reakcije na управљачком тоčku – volanu i to помоћу:

- reaktivnog ventila;
- reaktivnim plugama;
- reaktivnim elementima.

Jedan od врло великих недостатаха servoуређаја јесте њихова склоност лаког укључивања при dejству на njih malih sile које се могу појавити при кретању управљачких тоčкова по neravnom tlu. Повратно укључење на primer kod hidrauličkog servoуређаја пропраћено је oscilovanjem управљачких тоčкова i "vijuganjem" vozila na drumu. Да би се спречила повратна укључивања servoуређаја у систему се уградије centrirajući element hidrauličnog ili opružnog tipa (једна или неколико prethodno napregnutih opruga). Dok se neprevaziđe sile којој је element за centriranje izložen servoуређај не може да ступи у dejstvo i управљачки систем ради као систем без servoуређаја. На овај начин је остvarena jedna vrlo важна osobina система за управљање а то је obezbeđenje stabilnosti kretanja vozila na pravom putu а нарочито при većim brzinama.U cilju obezbeđenja враćања управљачких тоčkova elementi за centriranje moraju да буду prednapregnuti silama које ће по vrednosti da budu veće od sile povratnog trenja управљачkog mehanizma redukovane na sponu razvodnika.

4. OCENSKI POKAZATELJ IZBORA ODGOVARAJUĆEG SERVOMEHANIZMA – SILA NA TOČKU UPRAVLJAČA

Komforност управљања зависи од sile F_v коју је потребно дvestи од стране возача на управљачки тоčak (volan) prečnika R_v да би се закренули управљачки тоčkovi. Та сила има максималну вредност при закретању управљачких тоčkova u mestu. Stvarni moment на тоčku управљача који се троши за обрт тоčka мора да савлада момент отпора одупiranja тоčka kotrljanju M_2 , момент одупiranja тоčka klizanju otiska pneumatika по osloenoj površini i momentom izazvanog stabilizацијом управљачkog тоčka M_3 који је могуће занемарити при одредjivanju максималне sile $F_{v\max}$.

Moment odupiranja тоčka kotrljanju jednak је (Лысов , 1972), (Мајкић, 2012):

$$M_1 = G_t \cdot f \cdot a \quad (10)$$

где су: G_t - вертикално оптерећење тоčka;

f - коeficijent отпора kotrljanju тоčka;

a - krak zakretanja тоčka.

Moment odupiranja тоčka klizanju jednak је (Лысов , 1972), (Мајкић, 2012):

$$M_2 = 0,14 \cdot G_t \cdot \varphi \cdot r \quad (11)$$

Uzimajući u obzir, da su na prednjoj osi dva upravljačka točka, moment na rukavcu povezan sa uzdužnom upravljačkom sponom iznosi:

$$M_R = 2G_T(f \cdot a + 0,14 \cdot \varphi \cdot r) \cdot \frac{1}{\eta_i} \quad (12)$$

gde je: η_i - koeficijenat korisnog dejstva, koji uzima u obzir gubitke na trenje u obrtnim rukavcima i zglobovima upravljačkog prenosa. Pri proračunu preporučuje se vrednost za $f = 0,015$ i $\varphi = 0,85$.

$$F_{v\max} = M_R \cdot \frac{1}{R \cdot i_\omega' \cdot i_\omega'' \cdot \eta_D} \quad (13)$$

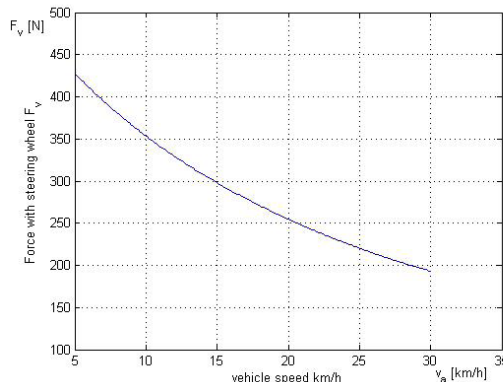
gde su: i_ω' - prenosni odnos upravljačkog prenosa;

i_ω'' - prenosni odnos upravljačkog mehanizma;

R - radijus upravljačkog točka;

η_D - direktni koeficijent korisnog dejstva (pri prenosu sile od upravljačkog točka ka upravljačkoj poluzi).

Pri kretanju vozila na krivini moment otpora pri klizanju otiska pneumatika mnogo puta je manji nego pri obrtu u mestu i zavisi od brzine kretanja vozila. Na slici 2. prikazana je zavisnost sile na točku upravljača od brzine kretanja vozila. Podaci su dobijeni eksperimentalnim ispitivanjem za transportno vozilo ZIL-585 (Гольд, 1962), (Мажкић, 2012). Smanjenje sile F_v i olakšanje upravljanja moguće je povećanjem radiusa upravljačkog točka R , takodje povećanjem prenosnog odnosa upravljačkog mehanizma i_ω' i prenosnog odnosa upravljačkog prenosa i_ω'' , smanjenjem do određenih granica kraka zakretanja točka i gubitaka na trenje u obrtnim rukavcima, zglobovima upravljačkog prenosa i u upravljačkom mehanizmu i postavljanjem pojačivača u upravljačkom sistemu. Radijus upravljačkog točka bira se u zavisnosti od morfoloških osobina vozača i preglednosti sa sedišta vozača. On se menja u granicama od 190 mm (za putnička vozila) do 275 mm (za teretna vozila veće nosivosti i za autobuse).

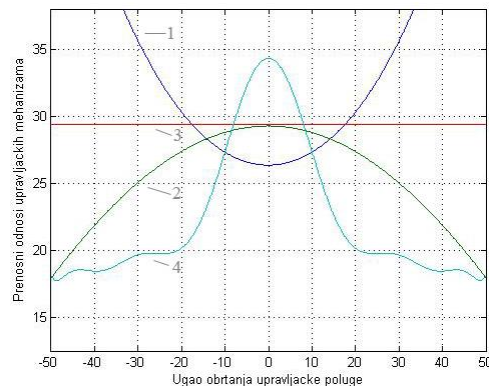


Slika br. 2. Zavisnost sile na točku upravljača od brzine kretanja vozila (Гольд, 1962), (Мажкић, 2012)

Za meru smanjenja kraka zakretanja točka a otpornost kotrljanju se smanjuje, ali istovremeno raste površinsko trenje izmedju pneumatike i oslone površine. Za pneumatike datog profila, koji poseduju određenu elastičnost bitno je neko određeno rastojanje a_{min} , pri kome se dobija minimalna sila za obrt vozila. Veličina a_{min} za projektovano vozilo utvrđuje se opitnim putem. Uobičajno je $a = 30 \div 60$ mm. Za teretna vozila veće nosivosti $a = 60 \div 100$ mm. Prenosni broj upravljačkog mehanizma i_ω' za putnička vozila menja se u granicama $12 \div 20$, za teretna vozila i autobuse u granicama $16 \div 32$. Pri povećanju prenosnog broja smanjuje se sila na upravljačkom točku, neophodna za obrt vozila, koja odgovara datom ugлу obrta upravljačkog točka. Ako su brža vozila, brže se izvršava obrt njegovih točkova prema tome potreban je manji prenosni odnos upravljačkog mehanizma. Eksplotaciona istraživanja su pokazala, da se dobro manevriranje vozila obezbeđuje ako se obrt upravljačkih točkova za puni ugao nastaje za $1,0 \div 1,75$ (ali ne više od $2,0$) obrta upravljačkih točkova u svaku stranu od srednjeg položaja koji odgovara pravolinijskom kretanju. Dakle povoljnija komforntnost vozila se dobija variranjem prenosnih odnosa upravljačkog sistema (Гольд, 1962), (Мажкић, 2012).

$$i_\omega = i_\omega' \cdot i_\omega'' \quad (14)$$

Na slici 2. prikazana je promena prenosnih odnosa u zavisnosti od uglova zakretanja upravljačke poluge u levu i desnu stranu. Za putnička vozila različitih tipova upravljački mehanizam je sa konstantnim prenosnim odnosom prava 3 na slici 3, koja po istraživanjima (Гольд, 1962) zadovoljava eksploracione zahteve. Kod vozila sa relativno malim brzinama sa većom težinom ponekad imaju prednost mehanizmi sa prenosnim odnosom, koji se menja po krivoj 2, pri blagom zaokretu točka upravljača. Kod vrlo brzih vozila ponekad se primenjuje upravljački mehanizam sa prenosnim odnosom koji se menja po krivoj 1. Za vreme kretanja vozila većim brzinama vozila brzo reaguju pri obrtu upravljačkog točka. Pri naglom zaokretu, koji se obično dešava pri umerenim brzinama kretanja vozila, sila na upravljačkom točku smanjuje se usled povećanja prenosnog odnosa. Smanjenjem gubitaka na trenje i povećanjem direktong koeficijenta korisnog dejstva upravljačkog mehanizma, može se smanjiti rad na upravljačkom točku pri obrtu vozila. Isto značajno povećanje koeficijenta korisnog dejstva upravljačkog mehanizma pri kretanju vozila na neravnom putu može dovesti do toga, da se sve slučajne bočne sile, koje dejstvuju na upravljačke točkove mogu se preneti na upravljački točak što ima za posledicu stvaranja momenta koji treba da prime ruke vozača – rukovaoca što otežava upravljanje vozilom u datim uslovima kretanja. Te okolnosti dozvoljavaju smanjenje koeficijenta korisnog dejstva upravljačkog mehanizma samo do odredjene granice. Koeficijenti korisnog dejstva upravljačkog mehanizma, razlikuju se direktni (pri prenosu sile od upravljačkog točka do upravljačke poluge) i povratni pri prenosu sile od upravljačke poluge do točka upravljača. Čim je veći direktni koeficijent korisnog dejstva tim su manji gubici u upravljačkom mehanizmu pri obrtu upravljačkih točkova i samim tim više se smanjuje moment na upravljačkom točku pod dejstvom slučajnih bočnih sile koje dejstvuju na upravljačke točkove na neravnom putu. Direktni i povratni koeficijent korisnog dejstva uzajamno su povezani. Povratnost upravljačkog mehanizma, koju je moguće oceniti brzinom povratka upravljačkih točkova u položaj koji odgovara pravolinijskom kretanju pri otpuštanju upravljačkog točka i datom zakonu promene stabilizirajućeg momenta biće tim veće čim su manji gubici na trenje u obrtnim rukavcima i zglobovima upravljačkog prenosa. Primenom hidrauličkog servomehanizma olakšavaju se uslovi i povećava se produktivnost rada vozača pored toga poboljšava se i upravljaljivost, stabilnost vozila pa prema tome povećava se i bezbednost kretanja i brzina manevrisanja u različitim putnim uslovima. Široko su rasprostranjeni hidraulički servomehanizmi kod kojih se zahtevana sila na upravljačkog poluzi obezbeđuje na račun korišćene energije tečnosti. Pred upravljački sistem sa hidroservomehanizmom postavljaju se sledeći zahtevi: visoka brzina dejstva i dobro prateće dejstvo, značajna izlazna snaga neophodna za izvršenje obrta vozila, pouzdanost, stabilnost radnih karakteristika i dr. Maksimalna sila $F_{v_{max}}$ na točku upravljača u otežanim uslovima, sa upravljačkim sistemom sa servo pojačanjem obično se zadaje. Za putnička vozila primenjena sila iznosi 30÷50 N a ponekad i 70 N, za teretna vozila 150÷180 N i za autobuse 140÷160 N. (Гольд, 1962).

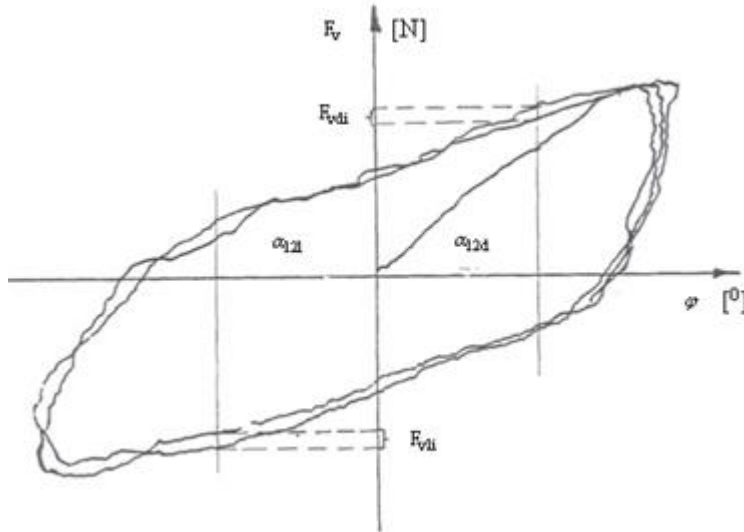


Slika br. 3. Zavisnost prenosnog odnosa različitih upravljačkih mehanizama u zavisnosti od uglova obrtanja upravljačke poluge. (Гольд, 1962), (Мајкић, 2012).

5. OPŠTI TEHNIČKI ZAHTEVI ZA SILU NA UPRAVLJAČKOM TOČKU METODA ISPITIVANJA

Zahtevi za maksimalnu силу која се може донести на тоčак упраљача дефинисани су у ECE Правилнику бр. 79. Поред наведеног ECE правилника постоје и sledeћи стандарди: Управљивост и стабилност возила општи технички захтеви Отресловог стандарда OST 37.001.487-89 и стандарду GOST R 52302-20004. Методе испитивања дефинисане су Отресловим стандардом OST 37.001.471-88. Испитивање се спроводи на непокретном и покретном возилу. При кретању возила возило се креће брзином од 10 km/h. При постојању појачивача испитивање се врши на минималном броју обртова мотора, при одсуству појачивача са искљученим мотором. Угаона брзина обрта упраљачког тоčka

ne treba da prelazi 60 o/s . U postupku испитивања записују се следеће вличине: угao obrta upravljačkog točka φ , sila na upravljačkom točku F_v i vreme obrta t .

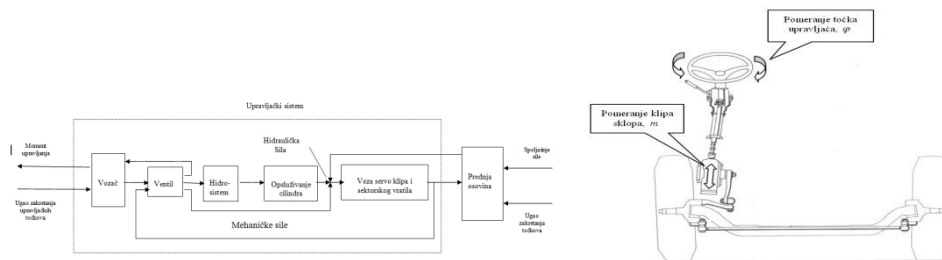


Slika br. 4. Obrazac zapisa zavisnosti sile na upravljačkom točku od ugla njegovog obrta.(OST 37.001.471-88 , 1989)
 (Majkić, 2012)

Obrada резултата представља се диграмом зavisности сile F_v на upravljačком točку од угла обрта upravljačkog točka који се добија путем трансформације записа у времену два наведена параметра. На слици 4. приказан је образац записа зavisности сile на upravljačком točку од угла njеговог обрта. На диграму су приказани углови обрта upravljačkog točka, који одговарају кретању предњег спољnjег točka по кругу десно и лево φ_{12d} и φ_{12l} . У интервалу од $\alpha=0$ до $\alpha=\alpha_{12}$, за сваки -ти опит налази се максимална вредност сile F_{vd} и F_{vl} , која се узима за оценски показатељ. У случају да је минимални радијус обрта возила на предњем спољnjем točku већи од 12 m, вредност F_{vdi} или F_{vli} прелази 20%, испитивања се понављају

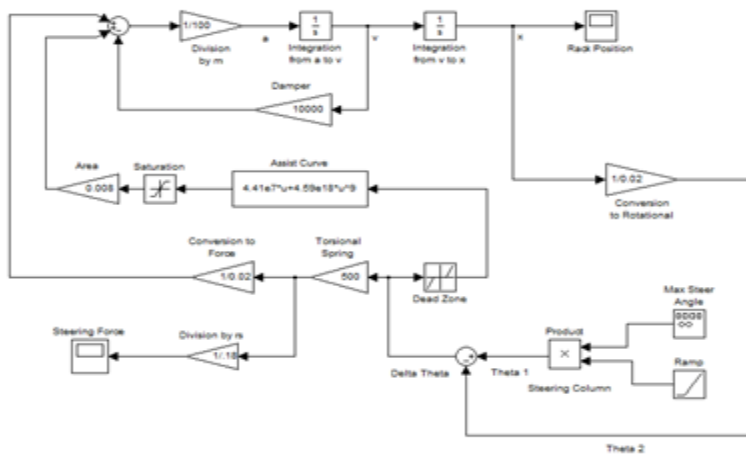
6. МАТЕМАТИЧКИ МОДЕЛ УПРАВЉАЧКОГ СИСТЕМА

На слици 5. представљен је регулациони систем „Vozač – Vozilo (са servo појачањем) – Okolina“ (Urlich, et al,1998) . Пошто су међусобне релације на слици 5. очигледне нema потребе за daljim детаљним objašnjenjima.



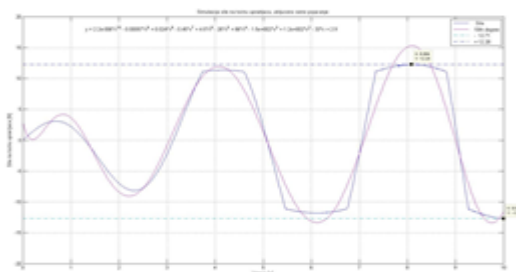
Slika br. 5. Blok šema: Vozač – Vozilo (sa servopojačanjem) – Okolina (Urlich, et al,1998), mehanički deo sistema za upravljanje

Математички модел upravljačkog система који је представљен на слици 6. израђен је у специјализованом модулу Simulink програмског пакета Matlab који је намењен за симулацију динамике система у графичком окружењу. Сваки елемент upravljačkog система представљен је одреденим блоком који садржи математички однос између улаза и излаза tog елемента. Поменуте улазе и излазе посматрају се као сигнали, а блокови су повезани оријентисаним линијама које označавају tok сигнала од једног блока ка другом (Urlich, et al,1998), (Ćalasan, et al, 1996).

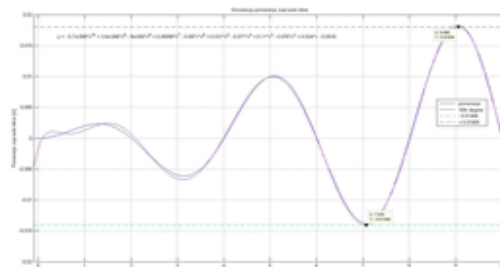


Slika br. 6. Model hidraučkog upravljačkog sistema

Model upravljačkog sistema, sa konstrukcijom upravljačkog mehanizma zupčanik-zupčasta letva sa servopojačanjem, obezbeđuje dobijanje podataka, izlaza pomeranja zupčaste letve u zavisnosti od simuliranog ulaza, zakretanja upravljačkog točka (volana), koji je generisan u obliku jedne sinusoide za 4 s. Pomeranje se dobija izvodjenjem dvostrukog integracije ubrzanja pomeranja zupčaste letve. U vezi zupčanika – zupčaste letve deluju tri sile: sila trenja stvorena od momenta otpora zakretanju upravljačkih točkova i od momenata trenja u prenosnom mehanizmu, pobudna sila dobivena od momenta generisanog od strane vozača na točku upravljača i sila dobivena od servopojačanja, sa slike 6. se vidi koje su sile pozitivnog i koje negativnog znaka. Ponašanje servopojačanja opisano je matematičkom formulom. Modelu ovog sistema dat je period od 4 sec za ulazno upravljanje sa sve većom magnitudom koja je 0 kada je t=0, i postiže 1 radijan za t=10 sec. Pri uključenoj hidraulici maksimalna sila na točku upravljača je 12,28 N. Sa isključenom hidraulikom maksimalna sila na točku upravljača iznosi 35 N.

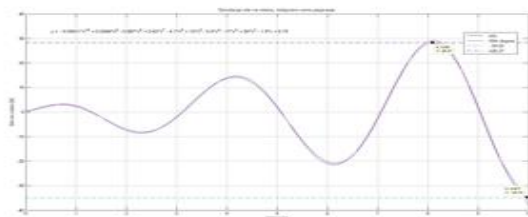


Slika br. 7. Sila na volanu sa uključenim servo pojačanjem

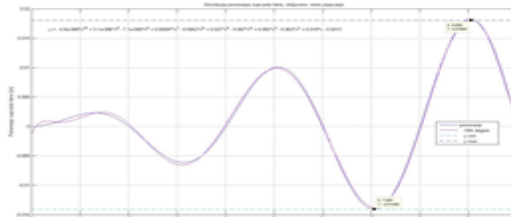


Slika br. 8. Pomeranje zupčaste letve sa pojačivačem

Isključenje servo – pojačanja, ono se dobija na taj način što se u izradjeni model unosi da je površina klipa jednaka nuli.



Slika br. 9. Simulacija sile na volanu, isključeno servo pojačanje

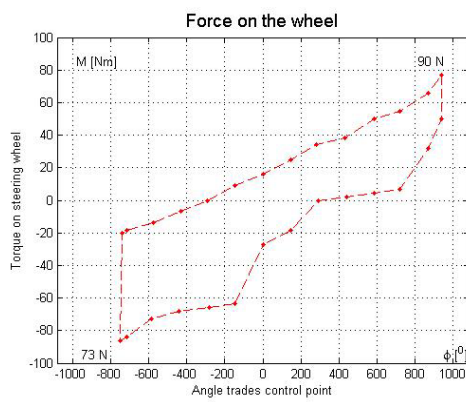


Slika br. 10. Simulacija pomeranja zupčaste letve, isključeno servo pojačanje

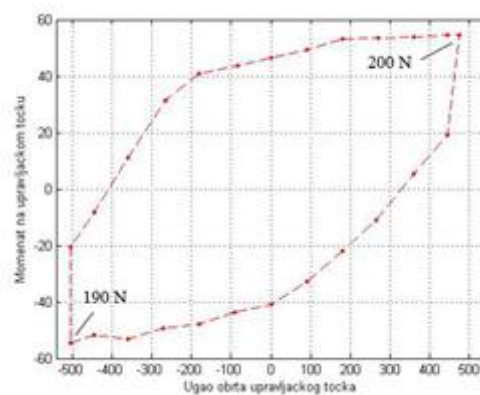
Iz dobivenih rezultata pomeranja zupčaste letve, vidi se da u prikazanim pomeranjima nema razlike sa i bez servopojačanja, što odgovara stvarnom stanju, razlika je u momentu zakretanja upravljačkih točkova odnosno uloženoj sili na točku upravljača.

7. VERIFIKACIJA IZBORA ODGOVARAJUĆEG SERVOUPRAVLJAČA

Verifikacija izbora odgovarajućeg servoupravljača obavljena je na konstrukciji terenskog automobila formule pogona 6x6. Korišćen je hidraulički servoupravljač sa otklonom upravljačke poluge od 960 pri 6,1 obrta točka upravljača, i sa prenosnim odnosom 22,7:1. Po kriterijumu ECE 79 za vozilo kategorije N2 predviđena je maksimalna sila od 250 N na obimu točka upravljača pri ulasku vozila brzinom 10 km/h iz pravca u krivinu radijusa 20 m u vremenu od 4 sec., u slučaju havarije servosistema sila na obimu točka upravljača ne treba da bude veća od 350 N. Za nepokretno vozilo maksimalna sila na točku upravljača sa uključenim servopojačivačem iznosi 180 N dok sa isključenim servopojačivačem iznosi 350 N. Rezultati ispitivanja predstavljeni su na slikama 11, 12 i 13. Sa slike 11 se vidi da je maksimalna momenat na točku upravljača 327 Nm što odgovara sili od 90 N a što je manje od gornje dozvoljene granice od 250 N. Iz prikazanih rezultata vide se da je sila pri obrtanju točka upravljača u levu stranu 73 N.

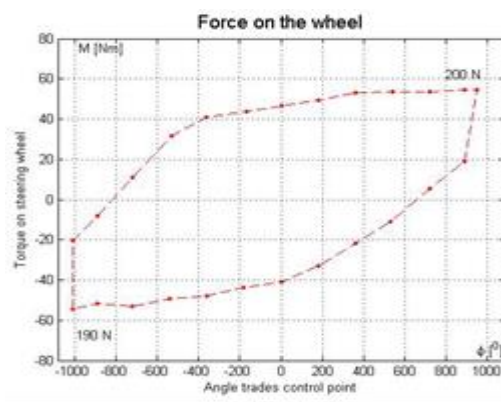


Slika br. 11. Promena momenta na točku upravljača (brzina 8-10 km/h)(Minić, 1992), (Majkić, 2012)



Slika br. 12. Promena momenta na točku upravljača (brzina 8-10 km/h)(Minić, 1992), (Majkić, 2012)

Na slici 11 predstavljeni su podatci dobijeni pri ispitivanju sile na točku upravljača, upravljanje u mestu. Sa slike 12 vidi se da pri kretanju bez uključenog servomehanizma maksimalni moment na točku upravljača 320 N koji se ostvaruje pri 2,1 obrta točka upravljača, što je manje od 350 N. Na slici 13 predstavljeni su podatci dobijeni pri ispitivanju sile na točku upravljača (vožnja bez hidraulike).



Slika br. 13. Sila na točku upravljača, sa servopojačanjem, obrtanje u mestu

Slika br. 14. (Minić, 1992), (Majkić, 2012)

Sa slike 13 se vidi da je maksimalna sila pri obrtanju točka upravljača u mestu sa uključenom hidraulikom iznosi 200 N, što odgovara 2,63 obrta točka upravljača. Po kriterijumu dobijena vrednost izlazi izvan dopuštene vrednosti za 20 N.

8. ZAKLJUČAK

Projektovanjem upravljačkog sistema motornih vozila određuju se osnovni parametri njegovih elemenata i sklopova, obezbeđujući ostvarenje postavljenih zahteva upravljanja vozilom. Osnovni ulazni podatak pri projektovanju servomehanizma je određivanje momenta otpora zakretanju upravljačkih točkova. Da bi se ostvarile odgovarajuće vrednosti momenta otpora zakretanju upravljačkih točkova potrebno je voditi računa o navedenim uticajnim faktorima, jer time se obezbeđuje manje opterećenje elemenata u sistemu upravljanja sa jedne strane, a sa druge strane omogućeno je olakšano upravljanje smanjenjem momenta odnosno sile na volanu. U ECE Pravilniku br.79 definisana je maksimalna sila koja se može dovesti na točak upravljača, o ovom parametru sistema za upravljanje prilikom razvoja vozila treba vodi računa. Hod klipa i dužina hidrocilindra određuju se za maksimalne uglove obrta upravljačkih točkova i za komponovanu šemu hidrocilindra u okviru upravljačkog sistema vozila, nakon toga određuje se prečnik klipa hidrocilindra. Sklonost povratnom uključenju hidropojačivača, bio bi narušen osnovni zahtev koji se postavlja pred upravljački sistem a to je vraćanje upravljačkih točkova po izlasku iz krivolinijskog u položaj pravolinijskog kretanja pod dejstvom stabilizirajućeg momenta. Da bi se sprečilo povratno uključenje u servopojačivač se ugrađuje reaktivni i centrirajući element. Prednapregnutošću centralnih opruga obezbeđuje se vraćanje volana i upravljačkih točkova, pod dejstvom stabilizacionog momenta bez uključenja pojačivača. Sila trenja u upravljačkom mehanizmu mora biti manja od sile prednaprezanja centralnih opruga . Pravilno projektovani pojačivač mora da obezbedi da zbirni momenat od izvršnog cilindra i vozača premaši moment otpora u čitavom dijapazonu uglova zakretanja točkova. Prikazana analiza je pokazala da do smanjenja sile na točku upravljača moguće je doći povećanjem ugaonog prenosnog odnosa upravljačkog mehanizma, smanjenjem nepotrebnih gubitaka na trenje u njemu i povećanjem njegovog koeficijenta korisnog dejstva smanjenjem kraka obrta upravljačkih točkova i primenom pojačivača. Dovoljno veliki ugaoni prenosni odnos upravljačkog mehanizma je faktor koji dozvoljava u značajnom stepenu smanjenje sile na točku upravljača za vreme obrta vozila. Obzirom na prikazane rezultate ispitivanja sile na točku upravljača u zavisnosti od njegovog ugla obrta može se izvući zaključak da odabrani hidraulički servomehanizam odgovara datom transportnom vozilu formule pogona 6X6.

9. LITERATURA

- Gincburg, L., (1972), Гидравлические усилители рулевого управления автомобилей, Машиностроение (Mašinostroenie), Moskva.
- Janković, D., (2005), Momenti otpora zakretanju upravljenih točkova, Monografija povodom 30 godina (1975.-2005), pp. 87-96, Mašinski fakultet, Kragujevac,
- Majkić, Z., (2013), Projektni proračun hidrauličkog servoupravljača upravljačkog mehanizma motornih vozila, Vojnotehnički glasnik, vol.61, br.3, pp.141-158, DOI:10.5937/vojtehg61-2017
- Лысов, И.М., (1972), Рулевые управление автомобилей, Машиностроение (Mašinostroenie), Moskva.
- Гольд, Б. В., (1962), Конструирование и расчет автомобиля, Машгиз, Moskva
- Majkić, Z., (2012), Analysis of judgments indicators for comfort management of transportation vehicles, Proceedings of the 5th International Scientific Conference on Defensive Technologies OTEH 2012
- Regulation No 79. , (2005), Uniform Provisions Concerning the Approval of Vehicles with regard to Steering Equipment, United Nations OST 37.001.487-89 (1991), Управляемость и устойчивость автомобилей. Общие технические требования. Москва.
- ГОСТ Р 52302-2004 (2005), Автомобильные средства. Управляемость и устойчивость. Технические требования. Методы испытаний. Москва.
- OST 37.001.471-88 (1989), Управляемость и устойчивость автотранспортных средств. Метод испытаний. Москва
- Urlich, H., Boeker, M., Ketl, R. (1998), Simulationen zur optimierung von servolenkungen. Internationales Fluid – technisches Kolloquium, Aachen.
- Latinka, Č., Petkovska, M. (1996), MATLAB i dodatni moduli Control System Toolbox i SIMULINK. Mikro knjiga Beograd. ISBN 86-7555-043-3.
- Mathworks (2012), <http://www.mathworks.com>, accessed on 2012-04-07.
- Minić, M. (1992), SISTEMI ZA UPRAVLEOJANJE TERETNIH VOZILA, Teorija – proračun – konstrukcija – ispitivanje, ABC GLAS, BEOGRAD
- Janković, D. (2012), Personal communication, Beograd.
- Reimpell, J., Stoll, H., Betzler, J. (2001), The Automotive Chassis. Second edition published by Butterwoeth-Heinemann
- Heisler, H., (2002), Advanced Vehicle Technology. Second edition published by Butterwoeth-Heinemann
- Бухарин, Н. А., Прозоров В. С., Щукин. (1973), АВТОМОБИЛИ Конструкция, Нагрузочные режимы, Рабочие процессы, Прочность агрегатов автомобиля, Машиностроение, Ленинград